

ОСОБЕННОСТИ РАБОТЫ ПРОВОЛОЧНЫХ Х-ПИНЧЕЙ НА КОМПАКТНОМ СИЛЬНОТОЧНОМ ГЕНЕРАТОРЕ КИНГ

**И. Н. Тиликин*, Т. А. Шелковенко, А. Р. Мингалеев, А. А. Мингалеев, А. Е. Тер-Оганесян,
С. А. Пикуз**

*Физический институт им. П. Н. Лебедева Российской академии наук
119991, Москва, Россия*

Поступила в редакцию 13 марта 2024 г.,
после переработки 17 мая 2024 г.
Принята к публикации 17 мая 2024 г.

Представлены экспериментальные исследования 4-проводочных X-пинчей на модернизированном генераторе КИНГ, состоящем из четырех низкоиндуктивных конденсаторов, с максимумом тока 160–250 кА, временем нарастания тока 150–300 нс при зарядном напряжении 45 кВ. Продемонстрирована возможность использования генератора в качестве источника мягкого рентгеновского излучения при использовании стандартных X-пинчей проволочек из Al, Cu или Mo диаметром 25 мкм. Показано, что модернизация привела к увеличению индуктивности, но не к ухудшению параметров X-пинча. Это привело к возможности применения данного генератора для питания стандартных X-пинчей и их использования в качестве источников излучения для точечной проекционной радиографии с пространственным разрешением порядка 13–23 мкм.

DOI: 10.31857/S0044451024110166

1. ВВЕДЕНИЕ

X-пинчи различных конфигураций являются прекрасными источниками как рентгеновского [1–6], так и УФ-излучения [7, 8]. Подобные источники излучения являются одними из самых мощных малых источников мягкого (энергия квантов менее 5 кэВ) рентгеновского излучения с потоком 10^{15} – 10^{16} Вт/см² [9, 10]. Горячая точка, образующаяся при взрыве X-пинча, имеет микронный размер и пикосекундную длительность [11–13]. Мягкое рентгеновское излучение (MRI) из горячей точки позволяет использовать его для исследования большого числа физических [1, 5, 6, 10] и биологических [5, 14] объектов. Помимо этого, X-пинч может быть использован в качестве интенсивного источника жесткого рентгеновского излучения [15, 16]. Большая часть этого излучения генерируется пучками ускоренных электронов, образующихся в процессе и сразу после взрыва горячей точки, взаимодействующими с плотной плазмой рядом с ней. Это излучение имеет энергию более 5 кэВ (часто до многих десятков кэВ) и

размер источника 40–200 мкм. Многочисленные эксперименты показывают, что для корректной работы стандартных X-пинчей необходимо обеспечить ток порядка 50–100 кА и время нарастания около 50 нс [17, 18]. При токе свыше 200 кА широко исследовались гибридные X-пинчи [19], представляющие собой короткую проволочку (длиной около 2 мм), помещенную между тугоплавкими коническими электродами, изготавливаемые из W с небольшой примесью Cu. При использовании подобной нагрузки наблюдается образование горячих точек [12]. Одним из наиболее важных факторов, влияющих на процесс образования горячих точек, является скорость нарастания тока. Как показало множество экспериментов, образование горячих точек возможно, только если скорость нарастания тока превышает значение 1 кА/нс [11]. В последнее время набирают популярность малогабаритные генераторы тока, построенные с использованием конденсаторов малой индуктивности, разряжающиеся непосредственно через нагрузку, а не по традиционной схеме Маркса с использованием формирующей линии [12, 20, 21]. В данной схеме напряжение, обеспечиваемое генератором, намного меньше по сравнению с генератором Маркса, что

* E-mail: ivan.tilikin@gmail.com

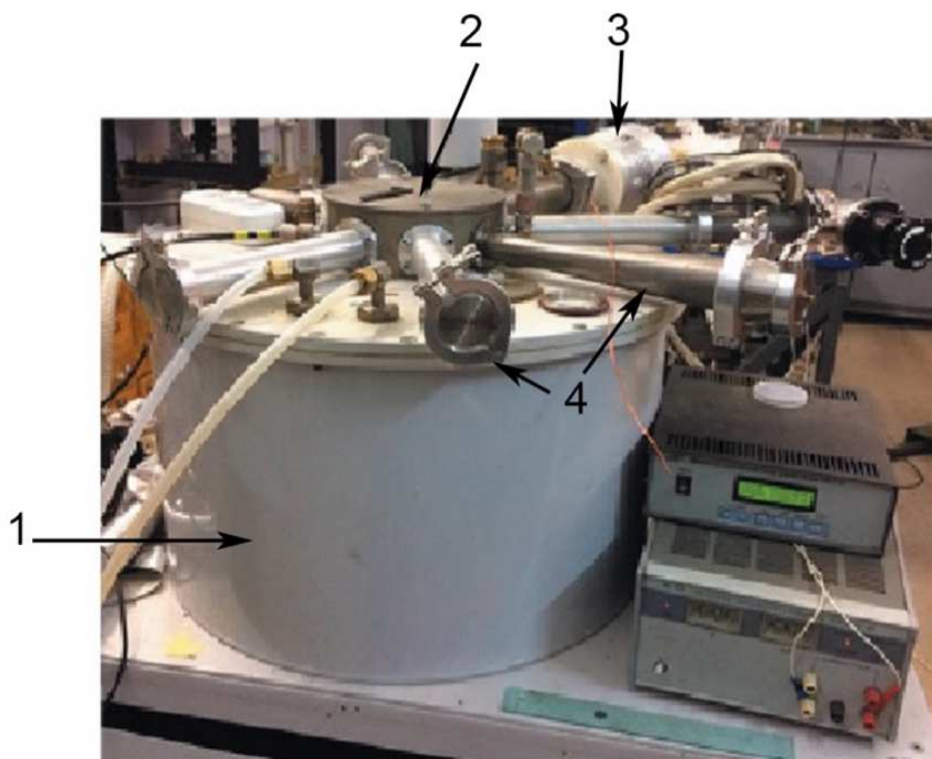


Рис. 1. Фотография внешнего вида генератора КИНГ: 1 — бак с конденсаторно-коммутаторными сборками, 2 — вакуумная камера, 3 — вакуумный насос, 4 — диагностические каналы

может не только влиять на эффективность формирования горячих точек, но и ограничить генерацию жесткого рентгеновского излучения. Низкое напряжение генератора ограничивает индуктивность используемых конфигураций X-пинчей, что на практике означает очень близкое расстояние между путями обратного тока, снижающее доступ к диагностике. Одним из генераторов, построенных по схеме с использованием конденсаторно-коммутаторных сборок, был генератор МИНИ, имеющий максимум тока 250 кА, время нарастания тока не превышающее 220 нс, а напряжение на выходе 40 кВ [12]. Генератор прекрасно работал с X-пинчами в качестве нагрузки. Однако конструкция генератора приводила к выходу из строя конденсаторов. По аналогичной схеме в Томском институте сильноточной электроники (ИСЭ СО РАН) был разработан генератор КИНГ [22, 23], имеющий максимум тока 200 кА и время нарастания тока около 200 нс при напряжении 45 кВ. Генератор КИНГ проектировался для работы со стандартными X-пинчами как более надежная модификация генератора МИНИ [12]. Оба генератора имеют практически одинаковое устройство, но генератор КИНГ, не обладая такими выдающимися выходными параметрами и размером, является более

надежной и достаточно компактной установкой, используемой для исследовательских целей, в том числе для работы с нагрузкой в виде различных конфигураций X-пинчей [24, 25]. Основной целью данных экспериментов является также изучение возможности применения данного низковольтного генератора питания стандартных X-пинчей и их использования в качестве источника МРИ для проекционной рентгенографии различных объектов с высоким пространственным и временным разрешением.

2. ПОСТАНОВКА ЭКСПЕРИМЕНТА

Основной конструктивной особенностью генератора КИНГ является использование конденсаторов марки HCEIcap 50–0.25 М, совмещенных с разрядниками, подключенными низкоиндуктивным подводом к нагрузке. Небольшие размеры вакуумной камеры позволяют быстро откачивать ее до рабочего давления ниже, чем $5 \cdot 10^{-4}$ Торр. При этом диаметр самой установки составляет всего 60 см. В дополнение к этому необходимо подключение генератора к вакуумной системе, системе накачки воздуха и к блоку питания. Внешний вид генератора представлен на рис. 1.

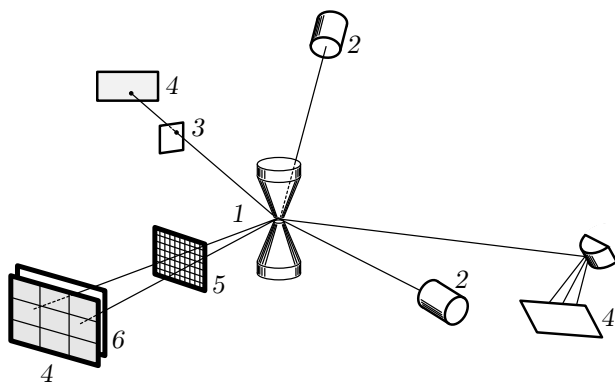


Рис. 2. Схема используемых методов диагностики: 1 — нагрузка генератора, 2 — алмазные фотодетекторы, 3 — камера обскура, 4 — изобразительная пластина или фотопленка, 5 — тест-объект, 6 — фильтры, 7 — кристалл CsAP-спектрографа

Генератор КИНГ разрабатывался для питания X-пинчей и их использования в качестве источника мягкого рентгеновского излучения. Генератор имеет 8 диагностических каналов 4 (рис. 1). Все диагностические каналы сделаны таким образом, чтобы отводить излучение от источника для его использования. В сторону каждого канала сделано отверстие 8 мм (описано ниже). Подобная геометрия выходной части усложняет работу по диагностике источника излучения. Многочисленные эксперименты по диагностике источника излучения X-пинча показали, что в большинстве выстрелов образуется горячая точка или несколько ярких точек [12, 13]. Также на генераторе проводились серии экспериментов по исследованию УФ-излучения с поверхности взрывающихся фольг [7, 8, 25]. Данные эксперименты показали существенные недостатки в выходной части генератора, усложняющие работу по исследованию плазменного объекта. В связи с этим возникла необходимость модернизации выходной части генератора КИНГ. Генератор КИНГ оснащен широким спектром различных диагностических устройств. В каждом выстреле контролируется зарядное напряжение. Ток, протекающий через нагрузку, контролируется с помощью пояса Роговского. Помимо измерения электрических сигналов, использовались различные способы диагностики параметров источника излучения. Схема расположения диагностических устройств представлена на рис. 2.

Для регистрации длительности и интенсивности рентгеновского излучения с энергией фотонов от 10 эВ до 10 кэВ использовались калибркованные алмазные фотодетекторы 2 (PCD) [26] (рис. 2). Регистрация электрических сигналов проводилась на ос-

циллографы марки Tektronix с полосой пропускания 1 ГГц. Временное разрешение фотодетекторов с подводящими кабелями составляет при использовании данных осциллографов около 1 нс. Для визуализации источников излучения использовалась камера-обскура 3 с отверстием от 30 мкм до 200 мкм (рис. 2). Для определения размера источника излучения использовалась схема проекционной рентгенографии для изображения металлических сеток в виде тест-объектов 5 (рис. 2). Для регистрации рентгеновского и УФ-излучения используются изобразительные пластины марки Fuji BAS TR или рентгеновские фотопленки марки Kodak DR-50. Для регистрации излученной энергии в различных спектральных диапазонах использовался фильтр из Ве толщиной 7 мкм, пропускающий фотоны с энергией более 700 эВ, из майлара толщиной 8 мкм, пропускающий фотоны с энергией выше 1 кэВ, и фильтр из Ti толщиной 12.5 мкм, пропускающей излучение от 2.5 до 5 кэВ, наиболее характерный участок спектра для мягкого рентгеновского излучения из горячей точки X-пинча. Для определения параметров плазмы источника излучения на генераторе КИНГ установлен спектрограф 7 с выпуклым кристаллом CsAP (рис. 2) с периодом кристаллической решетки 26.6 Å. Радиусом кривизны кристалла составляет 350 мм. На рис. 3 приведена схема получения спектра. Для регистрации спектра используются изобразительные пластины или рентгеновская фотопленка. Конструкция спектрографа позволяет изменять в широких пределах угол падения излучения на поверхность кристалла, который подбирается согласно формуле Брэгга – Вульфа: $2d \sin \theta = m\lambda$, где θ — угол отражения, d — межплоскостное расстояние кристалла, λ — длина волны излучения, m — порядок отражения. На входном отверстии спектрографа устанавливается тонкий аллюминизированный фильтр (толщина Al < 1 мкм), отсекающий фоновую засветку, но не сильно уменьшающий интенсивность излучения.

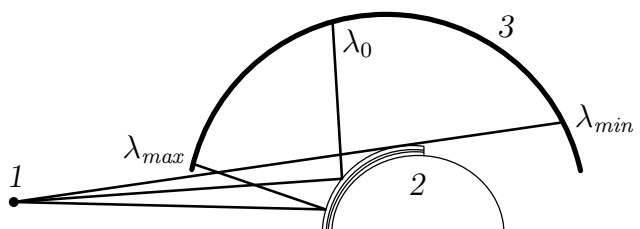


Рис. 3. Схема выпуклого спектрографа, установленного на генераторе КИНГ: 1 — источник излучения, 2 — выпуклый кристалл CsAP, 3 — изобразительная пластина для регистрации спектра

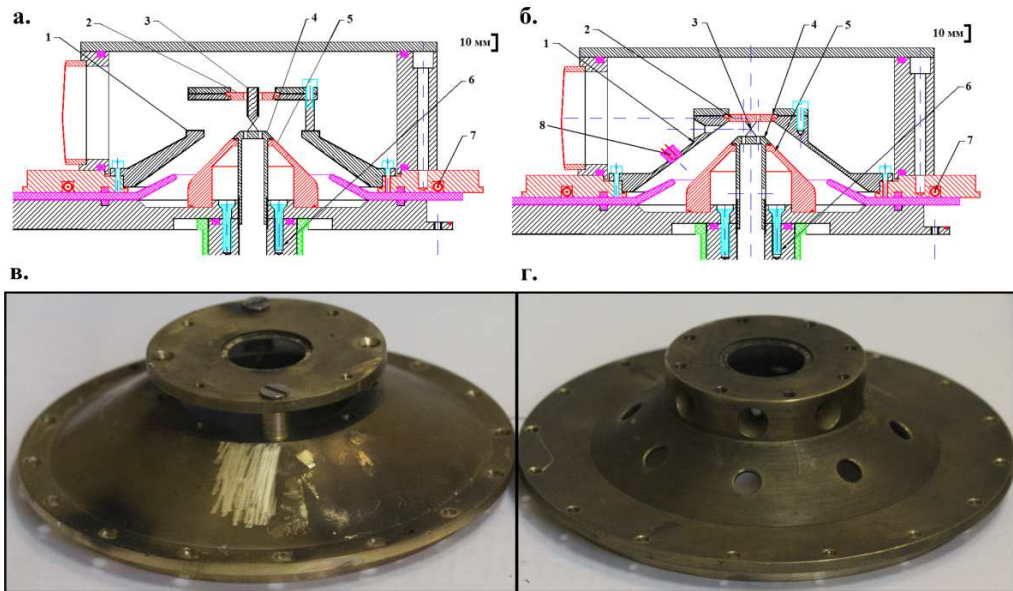


Рис. 4. *a, б* — Схемы выходной части генератора КИНГ. *в, г* — Фотографии обратного токопровода: исходной (*в, г*) и модернизированной (*а, б*). 1 — обратный токопровод, 2 — сменная часть обратного токопровода, 3 — нагрузка, 4 — сменная часть высоковольтного электрода, 5 — высоковольтный электрод, 6 — стакан для сбора грузов для натяжения стандартного X-пинча, 7 — пояс Роговского, 8 — дифференциальный датчик тока («петля»)

3. РЕЗУЛЬТАТЫ ЭКСПЕРИМЕНТА

Как уже было сказано ранее, выходная часть генератора КИНГ имела несколько отверстий для вывода излучения диаметром 8 мм и максимальная длина нагрузки была ограничена 8 мм, что не позволяло использовать нагрузки большей длины или исследовать источники излучения больших размеров (см. рис. 3б, г). В частности, это ограничивало возможности по исследованию взрыва фольги на подобном генераторе. Для большего удобства использования диагностических устройств конструкция выходной части генератора была модернизирована. На рис. 4 приведены схемы выходной части генератора и фотографии обратного токопровода.

В экспериментах с новой выходной частью использовалось от 2 до 4 стержней обратного токопровода. Использование подобной схемы позволило изменять длину нагрузки в широком диапазоне (до 20 мм) и исследовать излучение с поверхности больших пространственных объектов [27, 28]. Новая конструкция выходной части генератора открывает больше возможностей для исследования X-пинчей различных конфигураций на генераторе КИНГ. Были проведены серии экспериментов с различными проволочками в гибридном и стандартном 4-проводочном X-пинче. В таблице приведена сводная информация о наличие мягкого рентгеновского излучения с энергией квантов более 1 кэВ при исполь-

зовании различных проволочек в нагрузке. Видно, что излучение регистрировалось во многих выстрелах. Однако было замечено, что в разных выстрелах наблюдается ток различной формы, при этом оказывается различная скорость нарастания тока. Как показали эксперименты, гибридные X-пинчи работают гораздо лучше, чем стандартные проволочные X-пинчи, в широком диапазоне тока и скорости нарастания тока. Однако ранее было известно, что стандартные X-пинчи более требовательны к параметрам тока. Генератор КИНГ после модернизации позволяет исследовать влияние параметров тока на процесс взрыва стандартных X-пинчей.

На рис. 5 приведены характерные формы сигналов, которые регистрировались на генераторе КИНГ после модернизации выходной части при взрыве стандартных 4-проводочных X-пинчей с проволочками из Cu толщиной 25 мкм. При этом приведены результаты тех выстрелов, при которых регистрировалось мягкое рентгеновское излучения за фильтром из Be толщиной 7 мкм ($E\gamma > 700$ эВ) и майлара толщиной 8 мкм ($E\gamma > 1$ кэВ). Видно, что максимум тока составляет от 160 до 230 кА. При этом время нарастания тока до максимума изменяется в пределах от 150 до 300 нс, что соответствует средней скорости нарастания тока до максимума от 0.7 до 1.2 кА/нс. Можно отметить характерные особенности формы тока, из которых следует, что иногда конденсаторы срабатывают не совсем синхрон-

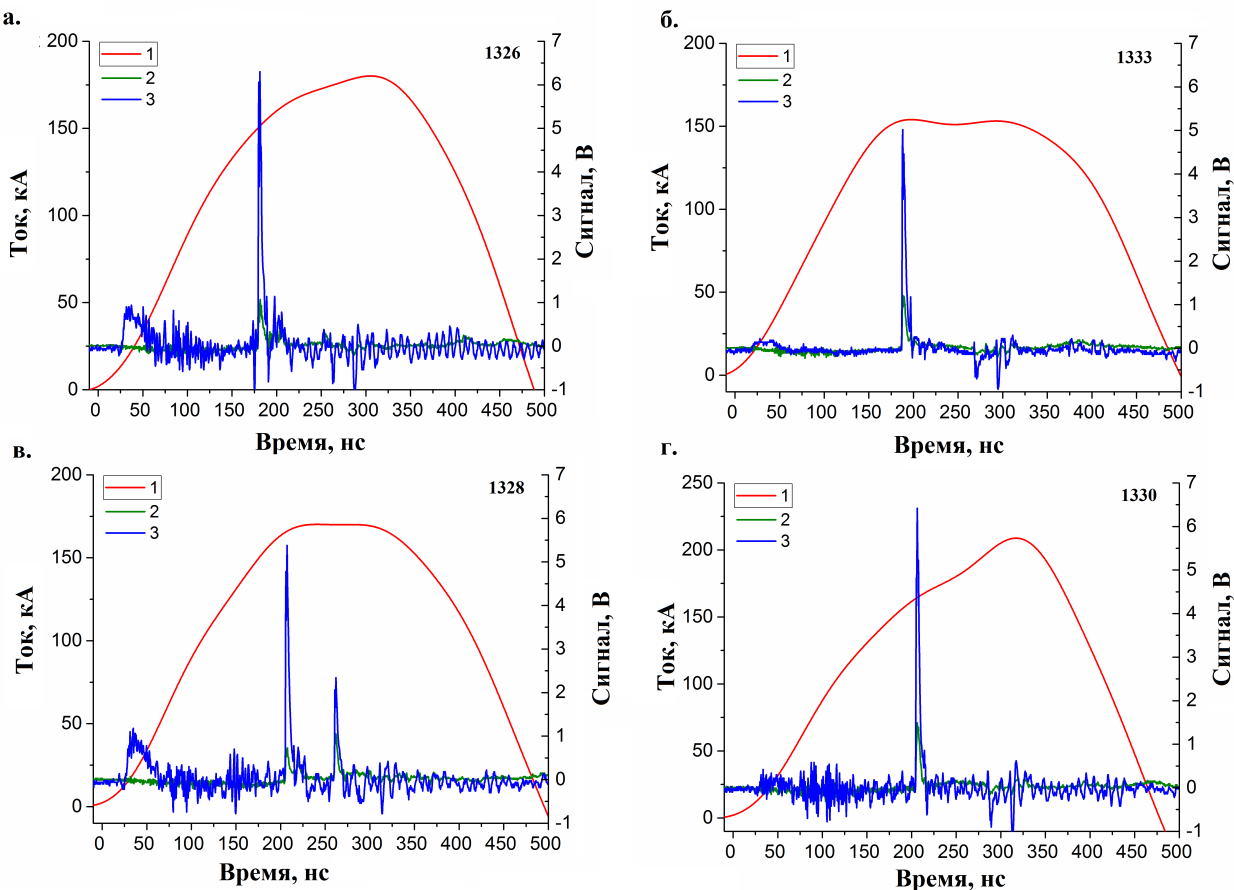


Рис. 5. Осциллограммы тока (1) и сигналы, зарегистрированные с помощью алмазных фотодетекторов за фильтром из майлара толщиной 8 мкм (2) и Be-фильтром толщиной 7 мкм (3) при взрыве 4-проводочного X-пинча с проволочками из Cu толщиной 25 мкм. Приведены различные характерные формы сигналов (a, b, c, d), регистрируемые на генераторе КИНГ

Таблица. Процент выстрелов с наличием мягкого рентгеновского излучения с энергией более 1 кэВ при взрыве гибридных (ГХП) и стандартных 4-проводочных X-пинчей (СХП) на генераторе КИНГ

X-пинч	Материал	Количество выстрелов	Процент выстрелов
СХП	Mo	4	50 %
	Al	6	30 %
	Cu	8	50 %
ГХП	Mo	30	90 %
	Al	10	100 %
	Cu	8	100 %

но. При этом иногда это влечет увеличение максимума тока (рис. 5e), а иногда приводит к более быстрому нарастанию тока, а потом ток остается постоянным (рис. 5b, e). В некоторых выстрелах наблюдается стандартная форма тока близкая к синусоидальной, но при этом могут различаться максимумы тока при одинаковой длительности (рис. 5a, b).

Исследования показывают, что если скорость нарастания тока оказывается более 1 кА/нс к моменту сжатия плазмы, то происходит образование ярких или горячих точек. Отдельно в экспериментах было исследовано влияние параметров стержней обратного токопровода на процесс взрыва X-пинча. Количество стержней изменялось от 2 до 4 штук. Длина стержней изменялась от 1 до 4 см. Выполнено по 4 выстрела в каждой из конфигураций. При этом параметры тока, напряжения и времени нарастания тока оставались в пределах стандартных отклонений. Генерация МРИ происходила также примерно в 50 % случаев, как и в остальных экспериментах (см. таблицу). Таким образом, показано, что изменение этих параметров не оказывает существенного влияния на процесс образования источников МРИ при взрыве X-пинчей. Возникающие источники излучения от горячих или ярких точек были исследованы на возможность их использования. Одним из наиболее важных параметров является размер излучающей области. Наиболее простым и действенным

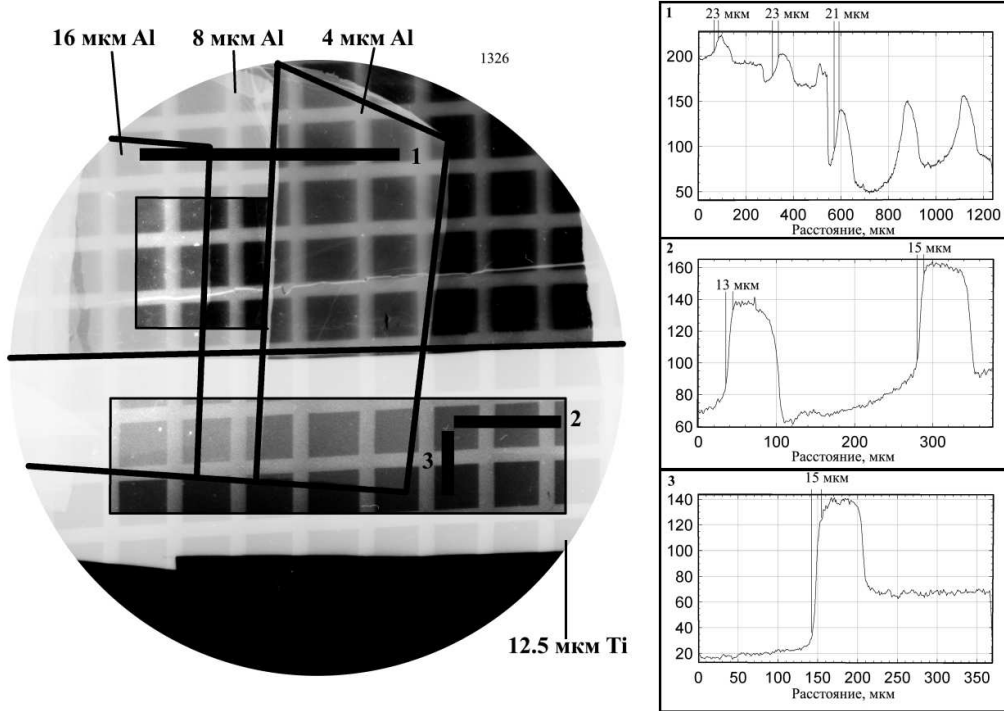


Рис. 6. Изображение медной сетки от излучения 4-проводочного X-пинча с проволочками из Си толщиной 25 мкм, зарегистрированное за различными фильтрами, и прописи почернений за Ti-фильтром толщиной 12.5 мкм (1, 2) и за Al-фильтрами толщиной 4, 8 и 16 мкм (3). На выделенных фрагментах дополнительно изменен контраст для наглядности. Увеличение 1 : 10

ным способом определения размера излучающей области в диапазоне МРИ является определение размера по размытию края изображения в схеме проекционной рентгенографии. Для этого необходимо получить изображение тест-объекта. На рис. 6 приведено изображение медной сетки с шагом 100 мкм, полученное от излучения 4-проводочного X-пинча с проволочками из Си толщиной 25 мкм. Изображение получено за различными фильтрами, что позволяет судить о пространственном разрешении в различных спектральных диапазонах.

На прописях почернений пластин приведены размеры размытия края изображения, что эквивалентно пространственному разрешению. Видно, что разрешение составляет от 13 до 23 мкм (рис. 6, 1–3) в различных спектральных диапазонах и в различных направлениях: поперечном и продольном относительно катод-анодного направления. При этом наиболее маленький размер 12 мкм получается за Ti-фильтром, что соответствует энергии фотонов от 2.5 до 5 кэВ, а значит, в экспериментах наблюдается горячая точка. Данный размер наблюдается в поперечном относительно катод-анодного направлении, что характерно для работы X-пинчей. Большой разницы в пространственном разрешении в поперечном и продольном направлениях зарегистрировано

не было, что отличает СХП от ГХП, где наблюдалась разница в 2.5–3 раза. На рис. 7 приведен увеличенный фрагмент осциллограммы при взрыве 4-проводочного X-пинча с проволочками из Си толщиной 25 мкм. На рис. 5б приведен полный сигнал от того же выстрела.

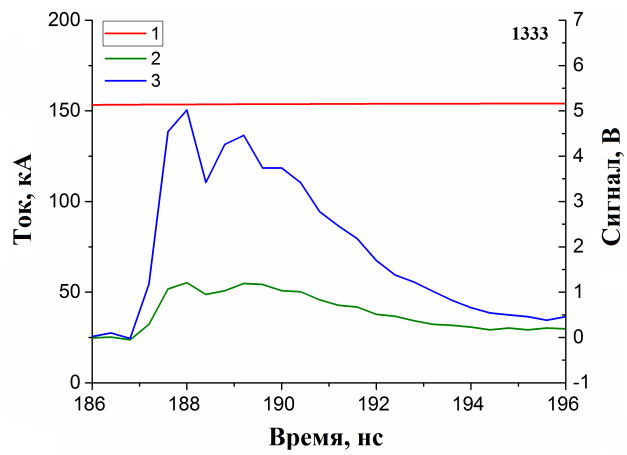


Рис. 7. Увеличенный фрагмент осциллограммы (полный фрагмент на рис. 5б) тока (1) и сигналы, зарегистрированные с помощью алмазных фотодетекторов за фильтром из майлара толщиной 8 мкм (2) и Ве-фильтром толщиной 7 мкм (3) при взрыве 4-проводочного X-пинча с проволочкой из Си толщиной 25 мкм

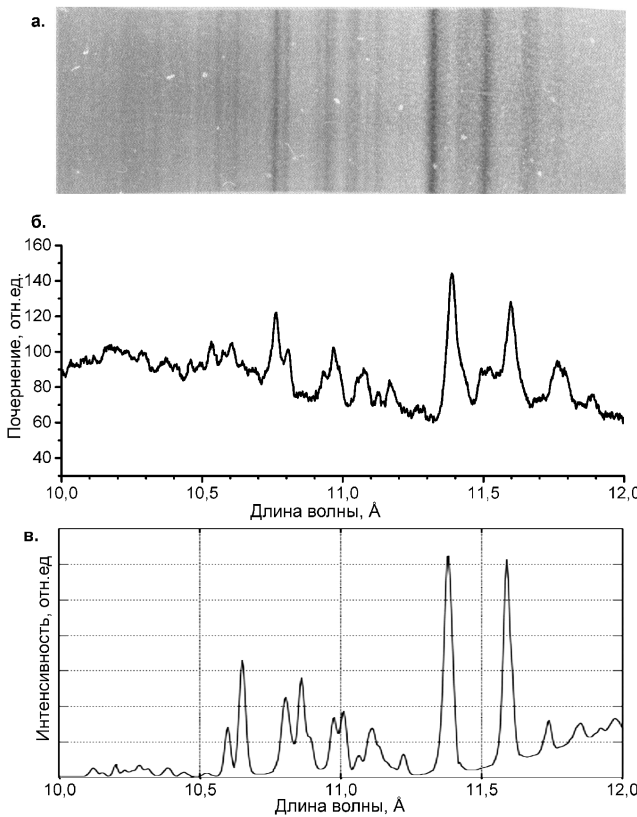


Рис. 8. а — Не-подобный спектр излучения Cu, зарегистрированный с помощью выпуклого кристалла CsAP, при взрыве 4-проводового X-пинча на генераторе КИНГ. б — Пропись спектра с восстановленными длинами волн и расчетный спектр излучения Си-плазмы с электронной температурой плазмы 150 эВ и электронной плотностью $5 \cdot 10^{20} \text{ см}^{-3}$

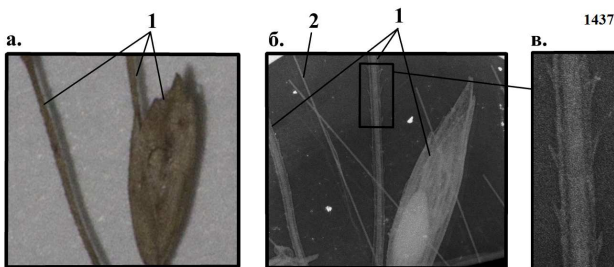


Рис. 9. Фотография (а), радиография (б) и увеличенный фрагмент радиографии (в) биологических тест-объектов: 1 — стебель и соцветие, 2 — углеродная нить толщиной 10 мкм. Радиография получена за фильтром из Ti толщиной 12.5 мкм при взрыве 4-проводового X-пинча с проволочками из Cu толщиной 25 мкм

Видно, что общая длительность излучения при этом не превышает 4 нс, при этом видна структура этого излучения, состоящая из нескольких вспышек, каждая из которых не более 1 нс, что может говорить о многократном пинчевании. Временное раз-

решение регистрирующей аппаратуры не превышает 1 нс, что говорит о том, что в данном случае, возможно, имеют место более узкие пики рентгеновского излучения. На подобных компактных генераторах впервые зарегистрированы спектры излучения, позволяющие определить параметры плазмы. На рис. 8а приведен характерный спектр, зарегистрированный при взрыве 4-проводового X-пинча с проволочками из Cu толщиной 25 мкм. Настойка угла спектрографа позволяет регистрировать Не-подобный спектр Cu. На рис. 8б приведен график почернений пленки с проставленными длинами волн. Восстановление длин волн на спектре производится согласно первичной настройке, а далее точная привязка происходит по наиболее интенсивным линиям. В данном спектральном диапазоне спектр излучения Си-плазмы можно рассчитать, используя программу PrismSPECT [29]. Спектры рассчитываются для различных значений плазменной температуры и электронной плотности при заданном размере источника, определяемым из рентгенограмм тест-объектов, как было показано выше. На рис. 8в приведен восстановленный спектр, наиболее подходящий под экспериментальный, который соответствует электронной температуре плазмы 150 эВ и электронной плотности $5 \cdot 10^{20} \text{ см}^{-3}$. Таким образом, при взрыве стандартных X-пинчей наблюдается тепловое излучение от ярких точек плазмы.

Подобные источники МРИ прекрасно подходят для получения изображений различных биологических и плазменных объектов с высоким пространственным разрешением. А модернизированная конструкция выходной части генератора КИНГ облегчает работу по выводу излучения на исследуемый объект. В качестве примера получено изображение биологического объекта. На рис. 9 приведена фотография (рис. 9а) и радиография (рис. 9б) соцветия и стебелька. На рис. 9в приведен увеличенный фрагмент стебелька, на котором прекрасно видна внутренняя структура и мелкие детали биологического объекта, что говорит о высоком качестве источника излучения и возможности использования подобного источника излучения для точечной проекционной рентгенографии.

4. ЗАКЛЮЧЕНИЕ

Экспериментальные исследования гибридных X-пинчей на модифицированном генераторе КИНГ показали, что изменение выходной части генератора привело к увеличению индуктивности нагрузки, что, в свою очередь, привело к увеличению времени нарастания тока. Однако это практически не

сказалось на гибридных X-пинчах. Стандартные X-пинчи стали работать немного хуже, но при этом в большинстве выстрелов образуется источник мягкого рентгеновского излучения. Размер источника излучения составляет 13–23 мкм в спектральном диапазоне 2.5–5 кэВ. При этом длительность излучения не превышает 4 нс. Показано, что наиболее важным параметром оказывается скорость нарастания тока до момента образования яркой точки. При этом для образования ярких точек значение производной тока (dI/dt) выше 1 кА/нс некритично. Яркие точки в X-пинчах наблюдались при $dI/dt > 0.8$ кА/нс. Проведены спектральные исследования параметров плазмы на подобных генераторах. Температура плазмы составляет 150 эВ, при этом электронная плотность равна $5 \cdot 10^{20}$ см⁻³. Таким образом, генератор может быть использован как для использования в качестве источника для проекционной точечной рентгенографии, так и для исследования различных плазменных источников. При этом увеличенное поле зрения и возможность исследовать объекты размером до 4 см открывают перспективы по исследованию различных плазменных объектов, например фольг или взрывающихся проволочек.

Финансирование. Работа поддержана Российским научным фондом (грант № 19-79-30086).

ЛИТЕРАТУРА

1. T. A. Shelkovenko, S. A. Pikuz, A. R. Mingaleev, and D. A. Hammer, *Studies of Plasma Formation from Exploding Wires and Multiwire Arrays Using X-ray Backlighting*, Rev. Sci. Instrum. **70**, 667 (1999).
2. S. V. Lebedev, F. N. Beg, S. N. Bland et al., *X-ray Backlighting of Wire Array Z-pinch Implosions Using X-pinch*, Rev. Sci. Instrum. **72**, 671 (2001).
3. T. A. Shelkovenko, D. B. Sinars, S. A. Pikuz, and D. A. Hammer, *Radiographic and Spectroscopic Studies of X-pinch Plasma Implosion Dynamics and X-ray Burst Emission Characteristics*, Phys. Plasmas **8**, 1305 (2001).
4. T. Zhao, X. Zou, X. Wang et al., *X-Ray Backlighting of Developments of X-pinch and Wire-Array Z-pinch Using an X-pinch*, IEEE Trans. on Plasma Sci. **38**, 646 (2010).
5. X. Zhu, X. Zou, R. Zhang et al., *X-Ray Backlighting of the Initial Stage of Single-and Multiwire Z-Pinch*, IEEE Trans. on Plasma Sci. **40**, 3329 (2012).
6. T. A. Shelkovenko, S. A. Pikuz, and D. A. Hammer, *A Review of Projection Radiography of Plasma and Biological Objects in X-pinch Radiation*, Plasma Phys. Rep. **42**, 226 (2016).
7. S. A. Pikuz, T. A. Shelkovenko, I. N. Tilikin et al., *Study of SXR/EUV Radiation of Exploded Foils and Wires with Spectral, Spatial and Temporal Resolution Simultaneously on KING Electric Discharge Facility*, Plasma Sources Sci. and Technol. **30**, 115012 (2021).
8. T. A. Shelkovenko, I. N. Tilikin, E. A. Bolkhovitinov et al., *A Study of the Ultraviolet Radiation of Hybrid X-pinch*, Plasma Phys. Rep. **46**, 10 (2020).
9. S. A. Pikuz, D. B. Sinars, T. A. Shelkovenko et al., *High Energy Density Z-pinch Plasma Conditions with Picosecond Time Resolution*, Phys. Rev. Lett. **89**, 035003 (2002).
10. S. V. Lebedev, F. N. Beg, S. N. Bland et al., *Effect of Core-Corona Plasma Structure on Seeding of Instabilities in Wire Array Z Pinches*, Phys. Rev. Lett. **85**, 98 (2000).
11. T. A. Shelkovenko, S. A. Pikuz, J. D. Douglass et al., *Multiwire X-pinch at 1-MA Current on the COBRA Pulsed-Power Generator*, IEEE Trans. on Plasma Sci. **34**, 2336 (2006).
12. G. A. Mesyats, T. A. Shelkovenko, G. V. Ivanenkov et al., *X-pinch Source of Subnanosecond Soft X-ray Pulses Based on Small-sized Low-inductance Current Generator*, J. of Exp. and Theor. Phys. **111**, 363 (2010).
13. S. A. Pikuz, T. A. Shelkovenko, and D. A. Hammer *X-pinch. Part I*, Plasma Phys. Rep. **41**, 291 (2015).
14. T. Shelkovenko, S. Pikuz, and D. Hammer, *X-pinch as Broadband Sources of X-rays for Radiography*, J. of Biomedical Sci. and Engineering **8**, 747 (2015).
15. T. A. Shelkovenko, S. A. Pikuz, A. R. Mingaleev et al., *Accelerated Electrons and Hard X-ray Emission from X-pinch*, Plasma Phys. Rep. **34**, 754 (2008).
16. T. A. Shelkovenko, S. A. Pikuz, C. L. Hoyt et al., *A Source of Hard X-ray Radiation Based on Hybrid X-pinch*, Phys. Plasmas **23**, 10 (2016).
17. С. М. Захаров, Г. В. Иваненков, А. А. Коломенский и др., *Проволочный X-пинч в сильноточном диоде*, Письма в ЖТФ **8**, 1060 (1982).
18. T. A. Shelkovenko, S. A. Pikuz, I. N. Tilikin et al., *X-pinch X-ray Emission on a Portable Low-current, Fast Rise-time Generator*, J. of Appl. Phys. **124**, 8 (2018).
19. T. A. Shelkovenko, I. N. Tilikin, G. V. Ivanenkov et al., *Dynamics of hybrid X-pinch*, Plasma Phys. Rep. **41**, 52 (2015).

20. A. V. Kharlov, B. M. Kovalchuk, V. B. Zorin, *Compact High Current Generator for X-Ray Radiography*, Rev. Sci. Instr. **77**, 123501 (2006).
21. A. P. Artyomov, A. V. Fedyunin, S. A. Chaikovsky et al., *A Double-frame Nanosecond Soft X-ray Backlighting System Based on X-pinch*, Instr. and Exp. Tech. **56**, 66 (2013).
22. A. P. Artyomov, M. G. Bykova, S. A. Chaikovsky et al., *A Small-scale X-pinch-based Nanosecond Soft X-ray Pulse Radiograph*, Russ. Phys. J **56**, 66 (2012).
23. S. A. Pikuz, T. A. Shelkovenko, I. N. Tilikin et al., *Study of SXR/EUV Radiation of Exploded Foils and Wires with Spectral, Spatial and Temporal Resolution Simultaneously on KING Electric Discharge Facility*, Plasma Sources Sci. and Technol. **30**, 115012 (2021).
24. E. A. Bolkhovitinov, I. N. Tilikin, T. A. Shelkovenko et al., *Study of Hybrid X-pinch in the XUV and SXR Spectral Ranges*, J. of Phys.: Conf. Ser. **1094**, 012022 (2018).
25. E. A. Bolkhovitinov, I. N. Tilikin, T. A. Shelkovenko et al., *Study of VUV Radiation of Hybrid and Standard X-pinches on KING Electric Discharge Facility*, Plasma Sources Sci. and Technol. **29**, 025009 (2020).
26. D. B. Sinars, S. A. Pikuz, J. D. Douglass et al., *Bright Spots in 1 MA X-pinches as a Function of Wire Number and Material*, Phys. Plasmas **15**, 9 (2008).
27. I. N. Tilikin, T. A. Shelkovenko, S. A. Pikuz et al., *Exploding Foils with Artificial Structure as a Source of Ultraviolet Radiation*, J. of Appl. Phys. **134**, 3 (2023).
28. T. A. Shelkovenko, I. N. Tilikin, A. V. Oginov et al., *Methods of Controlled Formation of Instabilities During the Electrical Explosion of Thin Foils*, Matter and Radiation at Extremes **8**, 5 (2023).
29. <http://www.prism-cs.com/Software/PrismSpect/PrismSPECT.htm>